

Dimension des systèmes linéaires: une approche différentielle et combinatoire

Laurent Evain

evain@tonton.univ-angers.fr

Résumé: On démontre un théorème de majoration pour la dimension de certains systèmes linéaires. Ce théorème améliore la méthode d'Horace différentielle introduite par Alexander-Hirschowitz, et avait été conjecturé par Simpson. Les applications envisagées sont le calcul de dimension de systèmes linéaires d'hypersurfaces de \mathbb{P}^n à singularités génériques imposées et le calcul de collisions de gros points dans \mathbb{P}^2 . Ces applications seront traitées indépendamment de ce papier, mais un exemple simple traité dans l'introduction laisse deviner comment le théorème sera utilisé.

1 Introduction par un exemple

Considérons le système linéaire \mathcal{L}_t des courbes projectives planes de degré d passant par trois points fixes p_1, p_2, p_3 et par un point $p_4(t)$ avec multiplicités respectives m_1, m_2, m_3 et m_4 . Supposons que p_1, p_2, p_3 soient alignés sur une droite, et que $p_4(t)$ soit générique dans le plan. Le système est de dimension projective au moins $\frac{d(d+3)}{2} - \sum \frac{m_i(m_i+1)}{2}$. Et la dimension est exactement $\frac{d(d+3)}{2} - \sum \frac{m_i(m_i+1)}{2}$ si les conditions imposées par les points multiples sont indépendantes.

Choisissons dans notre exemple les conditions numériques $m_1 = m_2 = m_3 = 1$, $m_4 = 3$ et $d = 5$. On veut montrer que le système \mathcal{L}_t est de dimension onze, et il suffit de voir qu'il est de dimension au plus onze. On spécialise le point générique $p_4(t)$ en un point $p_4(0)$ de la droite D joignant p_1, p_2 et p_3 , ce qui définit un système linéaire \mathcal{L}_0 . Par semi-continuité, $\dim \mathcal{L}_t \leq \dim \mathcal{L}_0$. Les diviseurs de \mathcal{L}_0 sont des courbes de degré cinq qui coupent la droite D le long d'un schéma ponctuel de degré six, donc ils contiennent D . En soustrayant D à chaque diviseur de \mathcal{L}_0 , on voit que la dimension de \mathcal{L}_0 est la même que celle du système linéaire des courbes de degré quatre passant par $p_4(0)$ avec multiplicité deux, c'est à dire onze. On avait donc bien $\dim \mathcal{L}_t = 11$.

Il existe de nombreuses situations dans lesquelles on essaie d'appliquer la

stratégie précédente: on spécialise des points génériques sur des diviseurs de sorte que le problème se simplifie en position spéciale et on conclut par un argument de semi-continuité. Bien sûr les conditions numériques de l'exemple ont été choisies pour que la stratégie s'applique sans difficulté. En revanche, il existe en général des difficultés numériques, comme l'illustre le cas suivant.

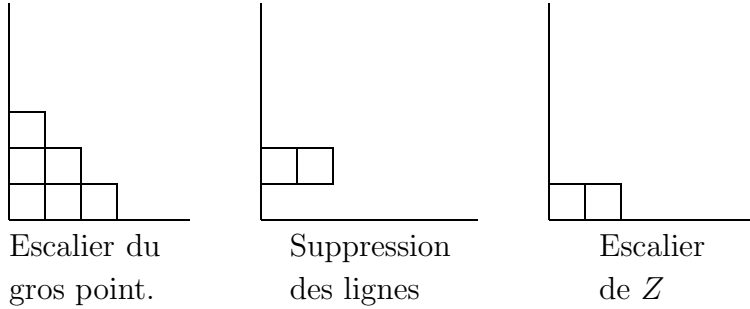
Choisissons dans notre exemple introductif $m_1 = m_2 = m_3 = 2$, $m_4 = 3$, et $d = 6$. On veut montrer que le système \mathcal{L}_t est de dimension douze. Spécialisons le point $p_4(t)$ en un point $p_4(0)$ de la droite D joignant p_1, p_2 et p_3 . Comme précédemment, D est une composante du système linéaire \mathcal{L}_0 dans cette position spéciale, donc \mathcal{L}_0 a la même dimension que le système des courbes de degré cinq passant par $p_1, p_2, p_3, p_4(0)$ avec multiplicité un, un, un et deux, c'est à dire au moins quatorze. On ne peut pas conclure. En fait, la dimension du système linéaire en position spéciale a sauté car on a mis "trop de conditions sur la droite": il suffit qu'un diviseur Δ de degré six coupe la droite D le long d'un schéma de degré sept pour que D soit inclus dans Δ , or un diviseur de \mathcal{L}_0 coupe la droite le long d'un schéma de degré neuf.

La méthode d'Horace [AH1,AH2,H] propose un ensemble de techniques pour gérer les problèmes numériques qui apparaissent lorsqu'on traite des exemples précis. On se propose dans ce papier d'enrichir la méthode d'Horace d'un nouveau théorème (Théorème 13).

Alors que l'énoncé général nécessite quelques notations, on peut illustrer facilement le théorème sur l'exemple précédent.

Quand $p_4(t)$ n'est pas sur D , un diviseur Δ du système linéaire \mathcal{L}_t coupe D deux fois en p_1 , deux fois en p_2 et deux fois en p_3 . Il manque encore une condition sur la droite pour que D soit composante fixe de \mathcal{L}_t . Raisonnons malgré tout comme si D était composante fixe. Alors, un diviseur de $\mathcal{L}_t(-D)$ serait une courbe de degré cinq qui couperait D en p_1, p_2, p_3 . Il manquerait cette fois-ci trois conditions pour que D soit composante du système $\mathcal{L}_t(-D)$, c'est à dire pour que $2D$ soit dans le lieu fixe de \mathcal{L} .

On va "prendre les conditions dont on a besoin sur le point p_4 ", qui est un point multiple d'ordre trois, lorsque celui-ci approche de D . On prélève les conditions par l'opération combinatoire suivante. Passer par un point de multiplicité trois équivaut à contenir un gros point de taille trois de \mathbb{P}^2 . Un gros point de taille trois est un schéma monomial i.e. défini par des équations monomiales dans un bon système de coordonnées. On associe des objets combinatoires aux schémas monomiaux: des escaliers. Dans le cas du gros point de taille trois, l'escalier associé est dessiné dans la figure ci-après.



On a vu que l'on avait besoin successivement d'une puis de trois conditions sur la droite D . On effectue alors la procédure suivante. On supprime dans l'escalier les lignes de longueur un et trois, puis on "pousse" les cubes restant vers le bas. On obtient ainsi un nouvel escalier, associé à un sous-schéma monomial Z de \mathbb{P}^2 . Notons \mathcal{C} le système linéaire formé des diviseurs Δ de degré six contenant deux fois D et pour lesquels $\Delta - 2D$ est une courbe de degré quatre contenant Z (contenir Z s'interprète géométriquement par le fait que $\Delta - 2D$ a un ordre de contact d'ordre deux avec D en $p_4(0)$). Le théorème 13 établit l'inégalité $\dim \mathcal{L}_t \leq \dim \mathcal{C}$. Puisque \mathcal{C} est de dimension douze, on a bien $\dim \mathcal{L}_t = 12$.

Plus généralement, notre théorème s'intéresse à la dimension de certains systèmes linéaires \mathcal{L}_t . On associe à \mathcal{L}_t un système \mathcal{C} au moyen d'opérations combinatoires et on établit l'inégalité $\dim \mathcal{L}_t \leq \dim \mathcal{C}$.

En fait, notre théorème ne s'appliquera pas uniquement à \mathbb{P}^2 et à la spécialisation de gros points sur des droites, comme cela a été le cas dans l'exemple. Il s'appliquera à toute variété projective irréductible X sur un corps algébriquement clos de caractéristique quelconque, et à la spécialisation de schémas monomiaux en un point p d'un diviseur de Weil irréductible D de X en lequel D et X sont lisses.

La démonstration consiste essentiellement à contrôler le système linéaire limite (théorème 14) lorsqu'on spécialise le schéma monomial, ce qui est obtenu par une étude différentielle.

Notre énoncé est très similaire à la méthode d'Horace différentielle introduite dans [AH1]. D'un côté, le théorème présenté ici est plus général puisque la méthode d'Alexander et Hirschowitz ne permet d'utiliser qu'une seule tranche d'un schéma monomial (i.e. avec les notations du théorème 13, ils se limitent au cas $r = 1$). Mais d'un autre côté, Alexander et Hirschowitz s'autorisent à bouger simultanément plusieurs schémas monomiaux, alors que la méthode présentée ici ne permet de spécialiser qu'un unique schéma monomial. Avec quelques adaptations dans les démonstrations, il aurait été possible de donner un énoncé qui englobe l'énoncé d'Alexander-Hirschowitz et le notre. Mais un tel énoncé serait beaucoup plus technique et ne donnerait pas lieu à de nouvelles applications. Sous la forme présentée dans ce

travail, le théorème était pressenti non seulement par Alexander et Hirschowitz, mais aussi par Simpson qui avait fait une conjecture en ce sens dès 1995.

Signalons aussi que Joe Harris a donné une conférence à Alghero en Juin dernier (1997) dans laquelle il a annoncé avoir obtenu avec Lucia Caporaso des résultats similaires à ceux de cet article quand X est de dimension deux, et quand la caractéristique du corps de base est nulle ou assez grande.

On trouvera des applications du théorème dans [E] où on montre qu'il n'existe pas de courbe plane de degré cent soixante quatorze contenant dix points singuliers d'ordre cinquante cinq (ce qui, en un sens à préciser, constitue le premier cas "critique" pour lequel la postulation de points singuliers ordinaires n'est pas connue).

Le plan de l'article est le suivant. Dans la section 2, on explique le lien entre les schémas monômiaux et les escaliers. La section 3 est une section technique d'algèbre commutative utile pour la démonstration du théorème. Le théorème est énoncé et démontré dans la section 4.

2 Schémas monômiaux

2.1 Définition des schémas monômiaux

On appelle escalier une partie E de \mathbb{N}^n dont le complémentaire C vérifie $C + \mathbb{N}^n \subset C$. Dans la suite, nous ne manipulerons que des escaliers finis. On dira par abus de langage qu'un monôme $m = x_1^{a_1} x_2^{a_2} \dots x_n^{a_n}$ de $k[[x_1, \dots, x_n]]$ est dans E si (a_1, a_2, \dots, a_n) est dans E . L'escalier E définit un idéal I^E de $k[[x_1, \dots, x_n]]$ qui est l'idéal engendré par les monômes hors de E .

Soit p un point lisse d'une variété X de dimension n . Le complété \hat{O}_p de l'anneau local de X en p est isomorphe à l'anneau de séries formelles $k[[x_1, \dots, x_n]]$. Le choix d'un isomorphisme induit un système de coordonnées locales en p , noté $\varphi : \text{Spec } k[[x_1, \dots, x_n]] \rightarrow X$. Moyennant ce choix, tout sous-schéma ponctuel de X supporté par p peut être vu comme un sous-schéma de $\text{Spec } k[[x_1, \dots, x_n]]$.

Définition 1. *Un sous-schéma ponctuel Z de X supporté par p est dit monomial d'escalier E si on peut choisir un isomorphisme entre \hat{O}_p et $k[[x_1, \dots, x_n]]$ tel que l'idéal définissant Z dans $\text{Spec } k[[x_1, \dots, x_n]]$ soit I^E . On notera $X_\varphi(E)$ le schéma monomial défini par φ et E .*

Exemple 2. *Les gros points de taille m de X sont les schémas monômiaux d'escalier E_m , avec $E_m = \{(a_1, a_2, \dots, a_n), a_1 + a_2 + \dots + a_n < m\}$.*

2.2 Découpage d'un escalier en tranches. Suppression de tranches

Définition 3. Un escalier E de \mathbb{N}^n définit une famille d'escaliers $T(E, k)$ de \mathbb{N}^n indexée par $\mathbb{N} - \{0\}$:

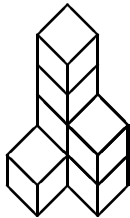
$$T(E, k) := \{(0, a_2, a_3, \dots, a_n) \text{ pour lesquels } (k-1, a_2, a_3, \dots, a_n) \in E\}$$

L'escalier $T(E, k)$ est appelé $k^{\text{ème}}$ tranche de E .

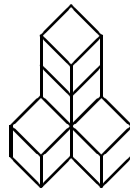
Un escalier fini peut être caractérisé par une application hauteur h_E de \mathbb{N}^{n-1} dans \mathbb{N} qui vérifie $h_E(a+b) \leq h_E(a)$ pour tout couple (a, b) de $(\mathbb{N}^{n-1})^2$: l'escalier défini par h_E est l'ensemble des n -uplets (a_1, \dots, a_n) vérifiant $a_1 < h_E(a_2, \dots, a_n)$.

Pour un escalier E défini par une fonction h_E et un entier $n_i > 0$, on appelle escalier résiduel après suppression de la tranche n_i l'escalier $S(E, n_i)$ défini par la fonction hauteur $h_{S(E, n_i)}$:

$$\begin{aligned} h_{S(E, n_i)}(a_2, \dots, a_n) &= h_E(a_2, \dots, a_n) \text{ si } n_i > h_E(a_2, \dots, a_n) \\ &= h_E(a_2, \dots, a_n) - 1 \text{ si } n_i \leq h_E(a_2, \dots, a_n) \end{aligned}$$



Escalier



Escalier après suppression de la deuxième tranche

Si (n_1, n_2, \dots, n_r) est un r -uplet d'entiers vérifiant $n_1 > n_2 > \dots > n_r > 0$, on définit l'escalier $S(E, n_1, \dots, n_r)$ obtenu à partir de E par suppression des tranches n_i récursivement: $S(E, n_1, \dots, n_r) := S(S(E, n_1, \dots, n_{r-1}), n_r)$.

3 Idéaux et transporteurs

Dans la section précédente, nous avons défini un idéal I^E dans $k[[x_1, \dots, x_n]]$, qui correspond géométriquement à un schéma ponctuel. Considérons le morphisme de translation T :

$$\begin{aligned} T : k[[x_1, \dots, x_n]] &\rightarrow k[[x_1, \dots, x_n]] \otimes k[[t]] \\ x_1 &\mapsto x_1 \otimes 1 - 1 \otimes t \\ x_i &\mapsto x_i \otimes 1 \text{ si } i > 1 \end{aligned}$$

L'idéal

$$J(E) := T(I^E)k[[x_1, \dots, x_n]] \otimes k[[t]]$$

définit une famille plate de sous-schémas de $\text{Spec } k[[x_1, \dots, x_n]]$ paramétrée par $\text{Spec } k[[t]]$ qui correspond géométriquement à une translation du schéma ponctuel dans la direction x_1 .

Au cours de la démonstration du théorème, nous serons grosso modo amenés à effectuer les calculs suivants: partant de $J_1 := J(E)$, déterminer $J_2 := (J_1 : x_1)$, $J_3 := (J_2 : x_1) \dots$. On aimerait en outre que tous les J_i soient de la forme $J(F_i)$ pour un escalier F_i de sorte que les idéaux soient faciles à décrire et à manipuler via leur escalier. Ce n'est malheureusement pas le cas. Il est néanmoins possible de donner une notion d'idéal associé à un escalier de sorte que tous les idéaux soient contrôlés par le fait que ce sont des idéaux associés à un escalier. C'est l'objet de la définition suivante.

Pour des raisons techniques, nous ne travaillerons pas dans $k[[x_1, \dots, x_n]] \otimes k[[t]]$, mais dans $k[[x_1, \dots, x_n]]/\mathfrak{m}^s \otimes k[[t]]/t^q$ pour différents s et différents q (où \mathfrak{m} désigne l'idéal maximal de $k[[x_1, \dots, x_n]]$ et s et q sont des entiers). Le problème reste néanmoins le même, à savoir contrôler des calculs de transporteurs à l'aide d'escaliers.

On notera

- $r_{qp}^{su} : k[t]/t^q \otimes k[[x_1, \dots, x_n]]/\mathfrak{m}^s \rightarrow k[t]/t^p \otimes k[[x_1, \dots, x_n]]/\mathfrak{m}^u$ la projection naturelle, où p, q, s, u sont quatre entiers vérifiant $0 < p \leq q$ et $0 < u \leq s$
- $J(E, q, s)$ la projection de $J(E)$ dans $k[t]/t^q \otimes k[[x_1, \dots, x_n]]/\mathfrak{m}^s$
- I^E l'idéal de $k[t]/t^q \otimes k[[x_1, \dots, x_n]]/\mathfrak{m}^s$ engendré par les monômes hors de E .

Définition 4. Soient $q \geq 1$ et $s \geq 1$ deux entiers, et E un escalier de \mathbb{N}^n . Un idéal J de $k[t]/t^q \otimes k[[x_1, \dots, x_n]]/\mathfrak{m}^s$ est dit idéal d'escalier E s'il vérifie:

- $J = I^E$ si $q = 1$
- si $q > 1$
 - $J \subset I^{T(E, q)}$
 - pour tout couple (p, u) avec $0 < p < q$, et $0 < u < s$, $r_{qp}^{su}(J : x_1)$ est un idéal d'escalier $S(E, q)$ dans $k[t]/t^p \otimes k[[x_1, \dots, x_n]]/\mathfrak{m}^u$.

Dans cette définition, les deux premières propriétés sont les propriétés voulues pour un idéal d'escalier E tandis que la troisième nous assure que la notion est stable par calcul de transporteurs.

L'idéal d'escalier E que nous intéressent est le suivant:

Proposition 5. *L'idéal $J(E, q, s)$ de $k[[x_1, \dots, x_n]]/\mathfrak{m}^s \otimes k[t]/t^q$ est un idéal d'escalier E .*

Le reste de la section est consacré à la démonstration de cette proposition. Commençons par le faire dans le cas $n = 1$. Notons E_h l'escalier de \mathbb{N} contenant les éléments inférieurs strictement à h . Puisque tout escalier de \mathbb{N} est de la forme E_h pour un certain h , la proposition pour $n = 1$ dit que l'idéal $((x_1 - t)^h)$ de $k[[x_1]]/x_1^s \otimes k[t]/t^q$ est un idéal d'escalier E_h . Pour vérifier ce fait, la définition 4 nous invite à effectuer des calculs de transporteurs et des restrictions. Lors des calculs, les idéaux successifs apparaissant se ressemblent au sens où ils admettent tous des systèmes de générateurs similaires. Nous introduisons dans la prochaine définition la notion d'idéaux déchargeables de hauteur H , qui sont des idéaux admettant un "bon" système de générateurs (et bien évidemment, tous les idéaux apparaissant dans les calculs sont des idéaux déchargeables). Et la propriété fondamentale est que tout idéal déchargeable de hauteur H est un idéal d'escalier E_H .

La raison pour laquelle nous avons introduit la notion d'idéal d'escalier E alors que finalement nous travaillons dans une classe d'idéaux plus petite, à savoir la classe des idéaux déchargeables est la suivante: lors de la démonstration du théorème, les propriétés qui nous intéresseront vraiment pour un idéal sont celles qui en font un idéal d'escalier E . On a donc mis en évidence ces propriétés dans une définition. Néanmoins, pour montrer que $J(E, q, s)$ est un idéal d'escalier E , les calculs sont plus commodes dans une classe d'idéaux plus petite (les déchargeables) dans laquelle les idéaux sont contrôlés par un système de générateurs.

En tant que k -espace vectoriel, $k[[x_1]]/x_1^s \otimes k[t]/t^q$ s'identifie au sous-espace vectoriel de $k[x_1, t]$ formé par les polynômes de degré en x_1 plus petit que s et de degré en t plus petit que q . On dit qu'un élément x_1^β divise un élément Q de $k[[x_1]]/x_1^s \otimes k[t]/t^q$, et on écrira $e = \frac{Q}{x_1^\beta}$ si, moyennant l'identification précédente, Q est une combinaison linéaire $\sum \lambda_i x_1^{a_i} t^{b_i}$ de monômes où chaque a_i est plus grand que β , et $e = \sum \lambda_i x_1^{a_i - \beta} t^{b_i}$.

Définition 6. *Un idéal I de $k[[x_1]]/x_1^s \otimes k[t]/t^q$ est dit déchargeable de hauteur H s'il est engendré par des éléments (e_1, \dots, e_r) avec*

- $e_1 = \frac{(x_1 - t)^h}{x_1^{\beta_1}}$ pour des entiers h et β_1 vérifiant $H = h - \beta_1$, et $(\beta_1 = 0$ si $q > H)$
- pour $i \geq 2$, $e_i = \frac{t^{\alpha_i} (x_1 - t)^h}{x_1^{\beta_i}}$ avec: $\alpha_i \geq 1$ et, $\forall p \leq q$, x_1^{q-p+1} divise $r_{qp}^{ss}(e_i)$.

Proposition 7. Soit $I = (e_1, \dots, e_r)$ un idéal déchargeable de hauteur H de $k[[x_1]]/x_1^s \otimes k[t]/t^q$. Si $q \leq H$, alors $(I : x_1) = (x_1^{s-1}, \frac{e_1}{x_1}, \frac{e_2}{x_1}, \dots, \frac{e_r}{x_1})$. Si $q > H$, alors $(I : x_1) = (x_1^{s-1}, e_1, \frac{t^{q-h}e_1}{x_1}, \frac{e_2}{x_1}, \frac{e_3}{x_1}, \dots, \frac{e_r}{x_1})$.

Démonstration:

Le cas $q \leq H$: e_1 , vu comme polynôme en x_1 , admet comme terme constant un multiple de t^H . Donc ce terme est nul et e_1 est bien divisible par x_1 . Les éléments e_2, \dots, e_r sont divisibles par x_1 par définition des idéaux déchargeables. L'idéal $(x_1^{s-1}, \frac{e_1}{x_1}, \frac{e_2}{x_1}, \dots, \frac{e_r}{x_1})$ est donc bien défini. L'inclusion $(I : x_1) \supset (x_1^{s-1}, \frac{e_1}{x_1}, \frac{e_2}{x_1}, \dots, \frac{e_r}{x_1})$ étant évidente, il nous reste à voir qu'un élément m de $(I : x_1)$ est dans $(x_1^{s-1}, \frac{e_1}{x_1}, \frac{e_2}{x_1}, \dots, \frac{e_r}{x_1})$. L'élément $x_1 m$, qui est dans I , s'écrit $\sum \lambda_i e_i$ où les λ_i sont des éléments de $k[[x_1]]/x_1^s \otimes k[t]/t^q$. D'où la relation

$$x_1(m - \sum \lambda_i \frac{e_i}{x_1}) = 0$$

Le noyau de la multiplication par x_1 étant l'idéal (x_1^{s-1}) , m est bien dans l'idéal $(x_1^{s-1}, \frac{e_1}{x_1}, \frac{e_2}{x_1}, \frac{e_3}{x_1}, \dots, \frac{e_r}{x_1})$

Le cas $q > H$: comme précédemment, la seule chose non immédiate est qu'un élément m de $(I : x_1)$ est dans l'idéal $(x_1^{s-1}, e_1, \frac{t^{q-h}e_1}{x_1}, \frac{e_2}{x_1}, \frac{e_3}{x_1}, \dots, \frac{e_r}{x_1})$. Toujours comme précédemment, on a l'égalité

$$x_1 \cdot m = \sum \lambda_i e_i. \quad (1)$$

En utilisant l'identification expliquée plus haut, λ_1 peut être vu comme un élément de $k[x_1, t]$ et on peut écrire la division

$$\lambda_1 = x_1 \cdot Q + R$$

où R est un élément de $k[t]$. Cette expression et l'expression (1) fournissent l'égalité:

$$x_1(m - \sum_{i \geq 2} \lambda_i \frac{e_i}{x_1} - Qe_1) = Re_1.$$

Donc x_1 divise Re_1 , ce qui n'est possible que si R est un multiple de t^{q-h} : $R = \mu t^{q-h}$. Finalement, l'égalité

$$x_1(m - \sum_{i \geq 2} \lambda_i \frac{e_i}{x_1} - Qe_1 - \mu \frac{t^{q-h}e_1}{x_1}) = 0$$

et le fait que le noyau de la multiplication par x_1 est l'idéal (x_1^{s-1}) , nous assurent que m est dans l'idéal $(x_1^{s-1}, e_1, \frac{t^{q-h}e_1}{x_1}, \frac{e_2}{x_1}, \frac{e_3}{x_1}, \dots, \frac{e_r}{x_1})$. ■

Corollaire 8. *Si I est un idéal déchargeable de hauteur H de $k[[x_1]]/x_1^s \otimes k[t]/t^q$ et si $q \leq H$, alors pour tout couple (p, u) vérifiant $p < q$ et $u < s$, $r_{qp}^{su}(I : x_1)$ est un idéal déchargeable de hauteur $H - 1$ de $k[[x_1]]/x_1^u \otimes k[t]/t^p$. Si I est déchargeable de hauteur H et si $q > H$, $r_{qp}^{su}(I : x_1)$ est un idéal déchargeable de hauteur H de $k[[x_1]]/x_1^u \otimes k[t]/t^p$.*

Démonstration: si $q \leq H$, $r_{qp}^{su}(I : x_1)$ admet (e'_1, \dots, e'_r) comme générateurs avec $e'_i = r_{qp}^{su}(\frac{e_i}{x_1})$. L'élément e'_1 vérifie trivialement la première condition demandée aux générateurs d'un idéal déchargeable de hauteur $H - 1$. Pour la deuxième condition, il faut voir que pour tout $p' \leq p$ et $i \geq 2$, $x_1^{p-p'+1}$ divise $r_{pp'}^{uu} \circ r_{qp}^{su}(\frac{e_i}{x_1}) = r_{qp'}^{su}(\frac{e_i}{x_1})$. Il suffit pour cela de voir que $x_1^{p-p'+2}$ divise $r_{qp'}^{ss}(e_i)$. Or, par hypothèse, $I = (e_1, \dots, e_r)$ est un idéal déchargeable donc $x_1^{q-p'+1}$ divise $r_{qp'}^{ss}(e_1)$, et $q - p' + 1 \geq p - p' + 2$.

Dans le cas $q > H$, $r_{qp}^{su}(I : x_1)$ est de la forme (e'_1, \dots, e'_{r+1}) avec $e'_1 = r_{qp}^{su}(e_1)$, $e'_i = r_{qp}^{su}(e_i/x_1)$ pour $2 \leq i \leq r$ et $e'_{r+1} = r_{qp}^{su}(\frac{t^{q-h}(x_1-t)^h}{x_1})$. Toutes les vérifications, sauf une, sont les mêmes qu'au cas précédent: il nous faut en outre montrer que pour tout $p' < p$, $x_1^{p-p'+1}$ divise $r_{pp'}^{uu}(e'_{r+1})$. Ceci est vrai car le coefficient en x_1^k de $r_{pp'}^{uu}(e'_{r+1})$ est un multiple de t^{q-1-k} : si k est inférieur ou égal à $p - p'$, il est strictement plus petit que $q - p'$, l'exposant $q - 1 - k$ de t est strictement plus grand que $p' - 1$ donc t^{q-1-k} est nul dans $k[[x_1]]/x_1^u \otimes k[t]/t^{p'}$. ■

Corollaire 9. *Si $I = (e_1, \dots, e_r)$ est un idéal de $k[[x_1]]/x_1^s \otimes k[t]/t^q$ déchargeable de hauteur H , alors I est un idéal d'escalier E_H .*

Démonstration: par récurrence sur q . Pour $q = 1$, tous les termes e_i avec $i \geq 2$ d'un idéal déchargeable $I = (e_1, \dots, e_r)$ sont nuls car ils sont de la forme $\frac{t^{\alpha_i}(x_1-t)^h}{x_1^{\beta_i}}$ avec $\alpha_i \geq 1$. Donc $I = (e_1)$ et $e_1 = \frac{(x_1-t)^h}{x_1^{\beta_1}} = \frac{x_1^h}{x_1^{\beta_1}} = x_1^H$.

On a bien $I = I^{E_H}$.

Pour $q > 1$, il faut voir que I est inclus dans $I^{T(E_H, q)}$ et que, pour $p < q$ et $u < s$, $r_{qp}^{su}(I : x_1)$ est un idéal d'escalier $S(E_H, q)$.

Si q est plus grand que H , $I^{T(E_H, q)}$ est l'idéal unité donc la première condition est trivialement vérifiée. Dans ce cas, $S(E_H, q) = E_H$. D'après la proposition 8, $r_{qp}^{su}(I : x_1)$ est un idéal déchargeable de hauteur H , donc c'est un idéal d'escalier E_H par hypothèse de récurrence.

Si q est inférieur ou égal à H , la première condition dit que I est inclus dans l'idéal (x_1) . Vérifions que c'est le cas pour chacun des générateurs de I . C'est vrai pour les éléments e_2, \dots, e_r par définition des générateurs d'un idéal déchargeable. C'est également vrai pour $e_1 = \frac{(x_1-t)^h}{x_1^{\beta_1}}$ car son terme constant est un multiple de t^H , donc est nul.

Pour la deuxième condition, il faut voir que $r_{qp}^{su}(I : x_1)$ est un idéal d'escalier $S(E_H, q) = E_{H-1}$. Or, d'après la proposition 8, $r_{qp}^{su}(I : x_1)$ est un idéal déchargeable de hauteur $H - 1$. C'est donc aussi un idéal d'escalier E_{H-1} par l'hypothèse de récurrence. ■

Corollaire 10. *Soit $E_h \subset \mathbb{N}$ un escalier. L'idéal $J(E_h, s, q)$ de $k[[x_1]]/x_1^s \otimes k[t]/t^q$ est un idéal d'escalier E_h .*

Démonstration: $J(E_h, s, q) = ((x_1 - t)^h)$ est trivialement un idéal déchargeable de hauteur h . C'est donc un idéal d'escalier E_h d'après le corollaire précédent. ■

Soit E un escalier de \mathbb{N}^n . On va maintenant montrer pour n quelconque que $J(E, s, q)$ est un idéal d'escalier E de $k[[x_1, \dots, x_n]]/\mathfrak{m}^s \otimes k[t]/t^q$ en se ramenant au cas $n = 1$. Identifions pour cela ensemblistement l'anneau $k[[x_1, \dots, x_n]]/\mathfrak{m}^s \otimes k[t]/t^q$ au produit

$$\prod_{(\alpha_2, \dots, \alpha_n) \text{ t.q. } s - \alpha_2 - \dots - \alpha_n \geq 1} k[[x_1]]/x_1^{s - \alpha_2 - \dots - \alpha_n} \otimes k[t]/t^q$$

où l'identification envoie un terme m de la composante d'indice $(\alpha_2, \dots, \alpha_n)$ sur le produit $m x_2^{\alpha_2} x_3^{\alpha_3} \dots x_n^{\alpha_n}$.

Lemme 11. *Soient E un escalier fini de \mathbb{N}^n défini par une fonction hauteur h_E et $I_{\alpha_2, \dots, \alpha_n}$ l'idéal de $k[[x_1]]/x_1^{s - \alpha_2 - \dots - \alpha_n} \otimes k[t]/t^q$ engendré par $(x_1 - t)^{h_E(\alpha_2, \dots, \alpha_n)}$. L'idéal $J(E, s, q)$ coïncide avec le produit $\prod_{\alpha_2, \dots, \alpha_n} I_{\alpha_2, \dots, \alpha_n}$*

Démonstration: puisque chaque $I_{\alpha_2, \dots, \alpha_n}$ est inclus dans $J(E, s, q)$, on a l'inclusion

$$\prod_{\alpha_2, \dots, \alpha_n} I_{\alpha_2, \dots, \alpha_n} \subset J(E, s, q)$$

Les éléments $(x_1 - t)^{h_E(\alpha_2, \dots, \alpha_n)} x_2^{\alpha_2} x_3^{\alpha_3} \dots x_n^{\alpha_n}$ engendrent $J(E, s, q)$ et sont dans $\prod_{\alpha_2, \dots, \alpha_n} I_{\alpha_2, \dots, \alpha_n}$. Il suffit donc pour montrer l'inclusion inverse de vérifier que le produit $\prod_{\alpha_2, \dots, \alpha_n} I_{\alpha_2, \dots, \alpha_n}$ est un idéal de $k[[x_1, \dots, x_n]]/\mathfrak{m}^s \otimes k[t]/t^q$. Ce produit est clairement un $k[t]/t^q$ -module. Utilisant alors la linéarité, il suffit de vérifier que le produit d'un élément e_0 de $I_{\alpha_2^0, \dots, \alpha_n^0}$ et d'un monôme $m = x_1^{\beta_1} x_2^{\beta_2} x_3^{\beta_3} \dots x_n^{\beta_n}$ est dans $\prod_{\alpha_2, \dots, \alpha_n} I_{\alpha_2, \dots, \alpha_n}$. Par définition de $I_{\alpha_2^0, \dots, \alpha_n^0}$,

$$e_0 = (x_1 - t)^{h_E(\alpha_2^0, \dots, \alpha_n^0)} x_2^{\alpha_2^0} x_3^{\alpha_3^0} \dots x_n^{\alpha_n^0} \cdot \mu$$

où μ est un élément de $k[[x_1]]/x_1^s \otimes k[t]/t^q$. On a donc

$$m \cdot e_0 = (x_1 - t)^{h_E(\alpha_2^0, \dots, \alpha_n^0) + \beta_1} x_2^{\alpha_2^0 + \beta_2} x_3^{\alpha_3^0 + \beta_3} \dots x_n^{\alpha_n^0 + \beta_n} \cdot \mu$$

Le terme me_0 est donc aussi un multiple de

$$(x_1 - t)^{h_E(\alpha_2^0 + \beta_2, \dots, \alpha_n^0 + \beta_n)} \cdot x_2^{\alpha_2^0 + \beta_2} \cdot x_3^{\alpha_3^0 + \beta_3} \cdot \dots \cdot x_n^{\alpha_n^0 + \beta_n}$$

en vertu de l'inégalité

$$h_E(\alpha_2^0 + \beta_2, \alpha_3^0 + \beta_3, \dots, \alpha_n^0 + \beta_n) \leq h_E(\alpha_2^0, \alpha_3^0, \dots, \alpha_n^0).$$

Par suite $m.e_0$ est dans $I_{\alpha_2^0 + \beta_2, \dots, \alpha_n^0 + \beta_n}$.

■

Lemme 12. *Soit E un escalier de \mathbb{N}^n donné par une fonction hauteur h_E . Soit J un idéal de $k[[x_1, \dots, x_n]]/\mathfrak{m}^s \otimes k[t]/t^q$ tel que $J = \prod_{\alpha_2, \dots, \alpha_n} J_{\alpha_2, \dots, \alpha_n}$, où chaque $J_{\alpha_2, \dots, \alpha_n}$ est un idéal de $k[[x_1]]/x_1^{s - \alpha_2 - \dots - \alpha_n} \otimes k[t]/t^q$ d'escalier $E_{h_E(\alpha_2, \dots, \alpha_n)}$. Alors J est un idéal d'escalier E .*

Démonstration: appelons idéal gradué de $k[[x_1, \dots, x_n]]/\mathfrak{m}^s \otimes k[t]/t^q$ un idéal K qui s'écrit comme produit d'idéaux $K = \prod K_{\alpha_2, \dots, \alpha_n}$. On dira que les $K_{\alpha_2, \dots, \alpha_n}$ sont les parties graduées de K . Deux idéaux gradués L et K vérifient $L \subset K$ si et seulement si pour tout $(\alpha_2, \dots, \alpha_n)$, $L_{\alpha_2, \dots, \alpha_n} \subset K_{\alpha_2, \dots, \alpha_n}$. De plus, si K est gradué, les idéaux $(K : x_1)$ et $r_{qp}^{su}(K)$ sont gradués et, plus précisément, $(K : x_1) = \prod (K_{\alpha_2, \dots, \alpha_n} : x_1)$ et $r_{qp}^{su}(K) = \prod r_{qp}^{su}(K_{\alpha_2, \dots, \alpha_n})$. En définitive, dans la définition 4, toutes les vérifications à faire concernent des idéaux gradués, et les calculs de transporteur et les restrictions respectent la graduation. Donc le fait d'être un idéal d'escalier E se vérifie sur chaque partie graduée.

■

Démonstration de la proposition 5: d'après le lemme 11, l'idéal $J(E, s, q)$ est un produit d'idéaux $I_{\alpha_2, \dots, \alpha_n}$. Chacun de ces idéaux $I_{\alpha_2, \dots, \alpha_n}$ est un idéal d'escalier $E_{h(\alpha_2, \dots, \alpha_n)}$ d'après le corollaire 10. On conclut enfin avec le lemme 12 que $J(E, s, q)$ est un idéal d'escalier E .

■

4 Le théorème

Le théorème traite de systèmes linéaires. Comme dans l'exemple introductif, les systèmes considérés seront des sous-systèmes \mathcal{L}_t d'un système linéaire \mathcal{L} ; les diviseurs de \mathcal{L}_t seront des diviseurs de \mathcal{L} qui contiennent un schéma monomial $X(t)$ variant avec le temps t . Au temps $t = 0$, le schéma $X(0)$ se spécialise sur un diviseur de Weil irréductible D . Le trajet du schéma monomial sera une translation relativement à un système de coordonnées locales "compatible" avec le diviseur D . Expliquons ce que cela signifie.

Soient X une variété projective irréductible de dimension n , D une sous-variété irréductible de X de dimension $n-1$. Soit p un point de D en lequel X et D sont lisses. Choisissons une fois pour toutes un système de coordonnées locales $\varphi : \text{Spec } k[[x_1, \dots, x_n]] \rightarrow X$ en p de sorte que D soit localement défini par $x_1 = 0$. L'idéal $J(E)$ introduit au début de la section précédente définit une famille plate de sous-schémas de $\text{Spec } k[[x_1, \dots, x_n]]$ paramétrée par $\text{Spec } k[[t]]$. On peut également voir cette famille comme une famille plate de sous-schémas de X moyennant le morphisme de coordonnées locales φ . On note $X_\varphi(E, t)$ la fibre générique de cette famille plate. La fibre spéciale de cette famille est $X_\varphi(E, 0) = X_\varphi(E)$. Cette famille plate est associée à un morphisme $\text{Spec } k[[t]] \rightarrow \text{Hilb}(X)$ qui correspond au trajet du schéma monomial défini par la translation.

Soient \mathcal{L} un système linéaire de diviseurs de Cartier sur X et Y un sous-schéma de X . On note $\mathcal{L}(-Y)$ le sous-système linéaire de \mathcal{L} formé par les diviseurs qui contiennent Y . Si Y et Z sont deux sous-schémas de X , le produit des idéaux $I(Y)$ et $I(Z)$ de Y et Z définit un sous-schéma de X noté $Y + Z$. En particulier, $\mathcal{L}(-Y - Z)$ est bien défini, même si Y est un diviseur de X et Z un sous-schéma de dimension zéro.

Notons Z_k le sous-schéma de X défini par le système de coordonnées locales φ et la tranche $T(E, k)$: $Z_k := X_\varphi(T(E, k))$. Les schémas Z_k sont inclus dans le diviseur D .

Les schémas monomiaux d'escalier E s'organisent en une variété irréductible $[H]$ et on peut donc parler du schéma générique d'escalier E , qu'on note $X(E)$.

Théorème 13. *Soient \mathcal{L} un système linéaire sur X et n_1, n_2, \dots, n_r des entiers vérifiant $n_1 > n_2 > \dots > n_r > 0$. Supposons que pour tout i compris entre un et r , $\mathcal{L}(-(i-1)D - Z_{n_i}) = \mathcal{L}(-iD)$. Alors*

$$\dim \mathcal{L}(-X(E)) \leq \dim \mathcal{L}(-rD - X_\varphi(S(E, n_1, \dots, n_r)))$$

Le théorème est une conséquence immédiate du théorème suivant:

Théorème 14. *Soient \mathcal{L} un système linéaire sur X et n_1, n_2, \dots, n_r des entiers vérifiant $n_1 > n_2 > \dots > n_r > 0$. Supposons que pour tout i compris entre un et r , $\mathcal{L}(-(i-1)D - Z_{n_i}) = \mathcal{L}(-iD)$. Alors on a l'inclusion*

$$\lim_{t \rightarrow 0} \mathcal{L}(-X_\varphi(E, t)) \subset \mathcal{L}(-rD - X_\varphi(S(E, n_1, \dots, n_r)))$$

Démonstration du théorème 13: puisque $X_\varphi(E, t)$ est une spécialisation de $X(E)$, on a par semi-continuité

$$\dim \mathcal{L}(-X(E)) \leq \dim \mathcal{L}(-X_\varphi(E, t))$$

La limite étant par définition une limite dans une Grassmannienne, on a:

$$\dim \mathcal{L}(-X_\varphi(E, t)) = \dim \lim_{t \rightarrow 0} \mathcal{L}(-X_\varphi(E, t))$$

Enfin, la proposition 14 implique:

$$\dim \lim_{t \rightarrow 0} \mathcal{L}(-X_\varphi(E, t)) \leq \dim \mathcal{L}(-rD - X_\varphi(S(E, n_1, \dots, n_r)))$$

Ces inégalités mises bout à bout donnent l'inégalité du théorème. ■

Démonstration du théorème 14:

Le système linéaire \mathcal{L} est de la forme $\mathbb{P}(V)$ pour un fibré en droites F sur X et un espace vectoriel V de sections de F . Notons $n - 1$ la dimension projective du système linéaire $\mathcal{L}(-X_\varphi(E, t))$. Il existe un unique morphisme

$$f : \text{Spec } k[[t]] \rightarrow \mathbb{G}(n, V)$$

qui envoie le point générique sur le point (non fermé) de la grassmannienne paramétrant le système linéaire $\mathcal{L}(-X_\varphi(E, t))$. L'image du point spécial définit un sous-espace vectoriel W de V et, par définition, $\mathbb{P}(W) = \lim_{t \rightarrow 0} \mathcal{L}(-X_\varphi(E, t))$

Restreignons la base du fibré F à $\text{Spec } \hat{O}_{X,p}$, où $\hat{O}_{X,p}$ est le complété de l'anneau local de X en p . Au dessus de cette base, le faisceau localement libre F est trivial et on peut en choisir un générateur local g . Une fois g choisi, on peut réaliser toute section de F comme une fonction de $\hat{O}_{X,p}$. Le système φ de coordonnées locales en p étant donné, toute fonction de $\hat{O}_{X,p}$ s'identifie à un élément de $k[[x_1, \dots, x_n]]$. On dispose donc d'un morphisme, injectif car X est irréductible:

$$i : V \rightarrow k[[x_1, \dots, x_n]]$$

Notons p_s la projection de $k[[x_1, \dots, x_n]]$ dans $k[[x_1, \dots, x_n]]/\mathfrak{m}^s$. Puisque V est de dimension finie, le morphisme

$$p_s \circ i : V \rightarrow k[[x_1, \dots, x_n]]/\mathfrak{m}^s$$

est également injectif pour s assez grand. Un élément f de V s'annule n fois sur D si et seulement si $i(f)$ est divisible par x_1^n . Toujours pour s assez grand, f s'annule n fois sur D si et seulement si $p_s \circ i(f)$ est un multiple de x_1^n .

Pour $q \geq 0$, notons f_q la restriction du morphisme f à $\text{Spec } k[t]/t^q$:

$$f_q : \text{Spec } k[t]/t^q \rightarrow \mathbb{G}(n, V)$$

L'image inverse par

$$f_q \times Id : \text{Spec } k[t]/t^q \times V \rightarrow \mathbb{G}(n, V) \times V$$

du fibré universel au dessus de $\mathbb{G}(n, V)$ est un sous-fibré F_q de rang n de $\text{Spec } k[t]/t^q \times V$. Expliquons comment associer un idéal $I(s_q, s)$ de $k[[x_1, \dots, x_n]]/\mathfrak{m}^s \otimes k[t]/t^q$ à une section s_q de F_q .

Toute section s_q de F_q est aussi une section de $\text{Spec } k[t]/t^q \times V$, et est définie par un morphisme de $\text{Spec } k[t]/t^q$ dans V . Par composition à droite avec le morphisme $p_s \circ i$, la section s_q définit un morphisme $f(s_q, s)$:

$$f(s_q, s) : \text{Spec } k[t]/t^q \rightarrow k[[x_1, \dots, x_n]]/\mathfrak{m}^s.$$

Il existe un fermé U de $k[[x_1, \dots, x_n]]/\mathfrak{m}^s \times \text{Spec } k[[x_1, \dots, x_n]]/\mathfrak{m}^s$ dont la fibre au dessus d'un point f est le sous-schéma de $\text{Spec } k[[x_1, \dots, x_n]]/\mathfrak{m}^s$ défini par l'idéal (f) . L'image inverse de U par $f(s_q, s) \times Id$ est un fermé $U(s_q, s)$ de $\text{Spec } k[t]/t^q \times \text{Spec } k[[x_1, \dots, x_n]]/\mathfrak{m}^s$. On note $I(s_q, s)$ l'idéal de $k[t]/t^q \otimes k[[x_1, \dots, x_n]]/\mathfrak{m}^s$ définissant $U(s_q, s)$.

La signification géométrique de $I(s_q, s)$ est la suivante. La section s_q définit une famille de diviseurs de X paramétrée par $\text{Spec } k[t]/t^q$, donc un sous-schéma Z de $\text{Spec } k[t]/t^q \times X$. La trace de Z sur

$$\text{Spec } k[t]/t^q \times \text{Spec } k[[x_1, \dots, x_n]]/\mathfrak{m}^s$$

est un sous-schéma défini par l'idéal $I(s_q, s)$.

Le comportement par restriction des idéaux $I(s_q, s)$ est agréable: si p, q, s, u sont quatre entiers avec $q \geq p$, $s \geq u$, et si s_p est la restriction de s_q au dessus de $\text{Spec } k[t]/t^p$, alors $I(s_p, u) = r_{qp}^{su}(I(s_q, s))$.

Pour montrer le théorème, il nous faut voir (**) que pour toute section s_1 de F_1 au dessus du point fermé et pour tout entier s assez grand, $I(s_1, s) \subset x_1^r \cdot I^{S(E, n_1, \dots, n_r)}$.

Toute section s_1 de F_1 au dessus du point fermé est la restriction d'une section s_{n_1} de F_{n_1} au dessus de $\text{Spec } k[t]/t^{n_1}$. Notons s_{n_i} la restriction de s_{n_1} à $\text{Spec } k[t]/t^{n_i}$.

Montrons la proposition (*) suivante, qui impliquera facilement (**) et donc le théorème 14: pour s assez grand, l'idéal $I(s_{n_i}, s)$ est inclus dans un idéal $x_1^i \cdot M(n_i, s)$, où pour tout $p < n_i$ et $u < s$, $r_{n_i p}^{su} M(n_i, s)$ est un idéal d'escalier $S(E, n_1, \dots, n_i)$.

On procède par récurrence sur i .

Pour $i = 1$, on peut dire informellement que s_{n_1} est une famille de sections de F paramétrée par un temps t dans $\text{Spec } k[t]/t^{n_1}$, et que cette famille de sections s'annule "à tout instant t sur le translaté par t dans la direction x_1 du schéma $X_\varphi(E)$ ". Plus rigoureusement, on a l'inclusion

$$I(s_{n_1}, s) \subset J(E, n_1, s) \tag{2}$$

De plus, $J(E, n_1, s)$ est un idéal d'escalier E de $k[[x_1, \dots, x_n]]/\mathfrak{m}^s \otimes k[t]/t^q$

d'après la proposition 5, donc

$$J(E, n_1, s) \subset I^{Tr(E, n_1)} \quad (3)$$

Pour s assez grand, les inclusions (2) et (3) montrent que s_{n_1} définit une famille de sections de F s'annulant à tout instant sur Z_{n_1} . Donc, par hypothèse, c'est également une famille de sections s'annulant sur D . Remarquons qu'à priori, l'hypothèse dit qu'une section de F qui s'annule sur Z_{n_1} s'annule sur D mais ne dit rien pour les familles de sections. Cependant, si on note W_{n_1} le lieu schématique dans V formé par les sections de F qui s'annulent sur Z_{n_1} et W_D le lieu schématique formé par les sections qui s'annulent sur D , W_{n_1} et W_D sont réduits car ce sont des espaces vectoriels. En particulier, l'inclusion ensembliste de W_{n_1} dans W_D , vérifiée par hypothèse, implique l'inclusion schématique. Les familles de sections de F paramétrées par une base B et s'annulant sur Z_{n_1} correspondent aux morphismes de B dans W_{n_1} , qui sont aussi des morphismes de B dans W_D . Les familles de sections s'annulant sur Z_{n_1} s'annulent donc sur D .

Puisque s_{n_1} est une famille de sections de F s'annulant sur D , tout élément e de $I(s_{n_1}, s)$ est divisible par x_1 : $e = x_1.f$, et d'après la relation 2, $f \in (J(E, n_1, s) : x_1)$, ce qui s'écrit aussi

$$I(s_{n_1}, s) \subset x_1.(J(E, n_1, s) : x_1)$$

Posons $M(n_1, s) := (J(E, n_1, s) : x_1)$. Puisque $J(E, n_1, s)$ est un idéal d'escalier E et par définition des idéaux d'escaliers E , pour tout $p < n_1$ et $u < s$, $r_{n_1 p}^{su}(M(n_1, s)) = r_{n_1 p}^{su}(J(E, n_1, s) : x_1)$ est bien un idéal d'escalier $S(E, n_1)$. La proposition (*) est vraie pour $i = 1$.

Supposons (*) vraie au rang $q - 1$. L'inclusion

$$I(s_{n_{q-1}}, s + q) \subset x_1^{q-1}.M(n_{q-1}, s + q)$$

est vérifiée pour s assez grand et implique par la restriction $r_{n_{q-1}n_q}^{(s+q)(s+q-1)}$

$$I(s_{n_q}, s + q - 1) \subset x_1^{q-1}.r_{n_{q-1}n_q}^{(s+q)(s+q-1)}M(n_{q-1}, s + q) \quad (4)$$

Puisque $r_{n_{q-1}n_q}^{(s+q)(s+q-1)}M(n_{q-1}, s + q)$ est un idéal d'escalier $S(E, n_1, \dots, n_{q-1})$ de $k[[x_1, \dots, x_n]]/\mathfrak{m}^s \otimes k[t]/t^{n_q}$, il est inclus dans $I^{T(S(E, n_1, \dots, n_{q-1}), n_q)} = I^{T(E, n_q)}$. Pour s assez grand, l'inclusion (4) montre alors que s_{n_q} est une famille de sections de F s'annulant sur $(q - 1)D + Z_{n_q}$, ce qui par hypothèse est aussi une famille de sections de F s'annulant sur qD . Tout élément e de $I(s_{n_q}, s + q - 1)$ est donc un multiple de x_1^q :

$$e = x_1^q.f \quad (5)$$

Par l'inclusion (4), e s'écrit aussi

$$e = x_1^{q-1}.g$$

où g est dans $r_{n_{q-1}n_q}^{(s+q)(s+q-1)}M(n_{q-1}, s+q)$. On en déduit l'égalité

$$x_1^{q-1}(g - x_1f) = 0$$

Puisque le noyau de la multiplication par x_1^{q-1} dans $k[[x_1, \dots, x_n]]/\mathfrak{m}^{q+s-1} \otimes k[t]/t^{n_q}$ est inclus dans \mathfrak{m}^s , on a donc

$$r_{n_q, n_q}^{q+s-1, s}(f).x_1 = r_{n_q, n_q}^{q+s-1, s}(g).$$

Le terme $r_{n_q, n_q}^{q+s-1, s}(g)$ est dans

$$r_{n_q, n_q}^{q+s-1, s} \circ r_{n_{q-1}n_q}^{(s+q)(s+q-1)}M(n_{q-1}, s+q) = r_{n_{q-1}n_q}^{s+q, s}M(n_{q-1}, s+q)$$

d'où

$$r_{n_q, n_q}^{q+s-1, s}(f) \in (r_{n_{q-1}n_q}^{s+q, s}M(n_{q-1}, s+q) : x_1)$$

L'image de l'égalité (5) par $r_{n_q, n_q}^{q+s-1, s}$ montre alors que

$$I(s_{n_q}, s) \subset x_1^q.(r_{n_{q-1}n_q}^{s+q, s}M(n_{q-1}, s+q) : x_1).$$

Posons $M(n_q, s) = (r_{n_{q-1}n_q}^{s+q, s}M(n_{q-1}, s+q) : x_1)$. On a bien $I(s_{n_q}, s)$ qui est inclus dans l'idéal $x_1^q.M(n_q, s)$. Il reste à voir que pour tout $p < n_q$ et $u < s$, $r_{n_{qp}}^{su}M(n_q, s)$ est un idéal d'escalier $S(E, n_1, \dots, n_q)$. Ce qui est vrai car $r_{n_{qp}}^{su}M(n_q, s) = r_{n_{qp}}^{su}(r_{n_{q-1}n_q}^{s+q, s}M(n_{q-1}, s+q) : x_1)$ et $r_{n_{q-1}n_q}^{s+q, s}M(n_{q-1}, s+q)$ est un idéal d'escalier $S(E, n_1, \dots, n_{q-1})$ de $k[[x_1, \dots, x_n]] \otimes k[t]/t^{n_q}$.

La démonstration de la récurrence est terminée. Déduisons maintenant (**)
de la proposition (*), ce qui achèvera la démonstration du théorème 14.

Si $n_r \neq 1$, la proposition (*) appliquée à $i = r$ dit que $I(s_{n_r}, s+1)$ est inclus dans un idéal produit $x_1^r.M(n_r, s+1)$. L'image de cette inclusion par l'application de restriction $r_{n_r}^{(s+1)s}$ donne $I(s_1, s) \subset x_1^r.I^{S(E, n_1, \dots, n_r)}$ car la restriction de $M(n_r, s+1)$ est $I^{S(E, n_1, \dots, n_r)}$ par définition de $M(n_r, s+1)$ et des idéaux d'escalier $S(E, n_1, \dots, n_r)$. La proposition (**) est donc démontrée pour $n_r \neq 1$.

Si $n_r = 1$, la proposition (*) appliquée à $i = r-1$ dit que $I(s_{n_{r-1}}, s+r+1)$ est inclus dans un idéal $x_1^{r-1}.M(n_{r-1}, s+r+1)$. L'image de cette inclusion par l'application de restriction $r_{n_{r-1}}^{(s+r+1)(s+r)}$ est

$$I(s_1, s+r) \subset x_1^{r-1}.I^{S(E, n_1, \dots, n_{r-1})}. \quad (6)$$

Puisque $I^{S(E, n_1, \dots, n_{r-1})} \subset I^{T(E, 1)}$, on a également l'inclusion $I(s_1, s+r) \subset x_1^{r-1}.I^{T(E, 1)}$, ce qui signifie pour s assez grand que s_1 est section de F qui s'annule sur $(r-1)D + Z_1$. Par hypothèse, s_1 est alors une section de F qui s'annule sur rD . Tout élément e de $I(s_1, s+r)$ est donc divisible par x_1^r :

$$e = x_1^r.f. \quad (7)$$

Cette égalité, la relation (6), et le fait que le noyau de la multiplication par x_1^{r-1} dans $k[[x_1, \dots, x_n]]/\mathfrak{m}^{s+r}$ soit inclus dans \mathfrak{m}^{s+1} montrent que

$$r_{11}^{s+r, s+1}(f) \in (I^{S(E, n_1, \dots, n_{r-1})} : x_1) = I^{S(E, n_1, \dots, n_r)} + (x_1^s).$$

Cette appartenance et la relation (7) donnent finalement

$$I(s_1, s) \subset x_1^r \cdot I^{S(E, n_1, \dots, n_r)}.$$

La démonstration de (***) est terminée. ■

Bibliographie:

[AH1]: Alexander J. et Hirschowitz A., An asymptotic vanishing theorem for generic unions of multiple points, duke e-print 9703037

[AH2]: Alexander J. et Hirschowitz A., La méthode d'Horace éclatée: application à l'interpolation en degré quatre, Invent. Math. 107, (1992), 586-602

[CM]: Ciliberto C. et Miranda R., On the dimension of linear systems of plane curves with general multiple base points, duke e-print 9702015

[E]: Evain L., Une généralisation de la conjecture de Harbourne-Hirschowitz aux points infiniment voisins, préprint en préparation.

[H]: Hirschowitz A., La méthode d'Horace pour l'interpolation à plusieurs variables, Manuscripta math, vol. 50, (1995), 337-388